

## Ćwiczenie nr 15

### Drgania masy zawieszona na sprężynie

#### Spis treści

<b>1</b>	<b>Wstęp teoretyczny</b>	<b>2</b>
<b>2</b>	<b>Opis doświadczenia</b>	<b>3</b>
<b>3</b>	<b>Opracowanie wyników pomiarów</b>	<b>4</b>
3.1	Tabele pomiarowe . . . . .	4
3.2	1. Izochronizm drgań . . . . .	5
3.3	2. Zakres stosowalności prawa Hooke’a . . . . .	6
3.3.1	Współczynnik sprężystości . . . . .	7
3.4	Analiza zależności kwadratu okresu od masy . . . . .	7
<b>4</b>	<b>Ocena niepewności pomiaru</b>	<b>9</b>
4.1	Niepewność czasu . . . . .	9
4.2	Niepewność okresu . . . . .	10
4.3	Niepewność położenia . . . . .	10
4.4	Niepewność wydłużenia . . . . .	10
4.5	Niepewność średniego wydłużenia . . . . .	10
4.6	Współczynnik sprężystości . . . . .	11
4.7	Niepewności współczynników A i B zależności $T^2 = Am + B$ . . . . .	12
4.8	Niepewności współczynników A i B z wzorów . . . . .	12
<b>5</b>	<b>Wnioski</b>	<b>13</b>
<b>6</b>	<b>Wykresy</b>	<b>14</b>

# 1 Wstęp teoretyczny

W doświadczeniu badamy ruch drgający masy zawieszonyj na sprężynie. Podstawą teoretyczną jest prawo Hooke'a oraz równanie ruchu harmonicznego.

## Prawo Hooke'a

Prawo Hooke'a opisuje zależność siły sprężystości  $F_s$  od wydłużenia sprężyny  $\Delta x$ :

$$F_s = -k\Delta x \quad (1)$$

gdzie  $k$  jest współczynnikiem sprężystości sprężyny. Znak minus oznacza, że siła sprężystości działa przeciwnie do kierunku wychylenia.

## Równanie ruchu harmonicznego

Dla masy  $m$  zawieszonyj na sprężynie, zgodnie z II zasadą dynamiki Newtona:

$$m \frac{d^2 x}{dt^2} = -kx \quad (2)$$

Rozwiązaniem tego równania jest funkcja:

$$x(t) = A \sin(\omega t + \phi) \quad (3)$$

gdzie:

- $A$  – amplituda drgań
- $\omega = \sqrt{\frac{k}{m}}$  – częstość kołowa drgań
- $\phi$  – faza początkowa

## Okres drgań

Okres drgań  $T$  masy zawieszonyj na sprężynie wyraża się wzorem:

$$T = 2\pi \sqrt{\frac{m}{k}} \quad (4)$$

Wzór (4) uwzględnia jedynie masę zawieszoną na sprężynie, jednakże w drganiach bierze udział również masa sprężyny. Uwzględniając ją należy dodać do masy ciężarka  $\frac{1}{3}$  masy sprężyny  $m_{spr}$ . Otrzymujemy w ten sposób wzór:

$$T = 2\pi \sqrt{\frac{m + \frac{1}{3}m_{spr}}{k}} \quad (5)$$

Z powyższego wzoru wynika zależność kwadratu okresu drgań od masy:

$$T^2 = \frac{4\pi^2}{k}m + \frac{4\pi^2 m_{spr}}{3k} \quad (6)$$

gdzie  $m_{spr}$  jest masą sprężyny.

## Izochronizm drgań

Teoretycznie, dla małych amplitud, okres drgań nie zależy od amplitudy. Jest to tzw. izochronizm drgań, który sprawdzamy w pierwszej części doświadczenia.

Niniejszy wstęp teoretyczny opracowano na podstawie podręcznika Ćwiczenia laboratoryjne z fizyki - rozdział 24 [1].

## 2 Opis doświadczenia

Celem doświadczenia jest zbadanie drgań masy zawieszonej na sprężynie poprzez realizację trzech zadań:

### Badanie izochronizmu drgań

- Używając masy 50 g, wykonano pomiary czasu 20 pełnych drgań dla amplitud od 1 do 10 cm
- Dla amplitudy 5 cm wykonano 5 powtórzeń pomiaru
- Celem było sprawdzenie, czy okres drgań zależy od amplitudy

### Wyznaczanie współczynnika sprężystości $k$

- Wykonano pomiary wydłużenia sprężyny dla mas od 10 do 60 g (co 10 g)
- Pomiary wykonano dwukrotnie: przy zwiększaniu i zmniejszaniu obciążenia
- Na podstawie wykresu zależności wydłużenia od siły sprawdzono zakres stosowalności prawa Hooke'a

### Badanie zależności okresu drgań od masy

- Zmierzono czas 10 pełnych drgań dla mas od 10 do 50 g (co 10 g)
- Wykonano dodatkowy pomiar dla masy nieznanej  $m_x$
- Na podstawie zależności  $T^2$  od  $m$  wyznaczono masę nieznaną oraz parametry układu

Podczas wszystkich pomiarów położenia wykorzystano lusterko umieszczone obok metrówki, aby zapewnić prawidłowy odczyt poprzez pokrycie się wskaźnika sprężyny z jego odbiciem.

### 3 Opracowanie wyników pomiarów

#### 3.1 Tabele pomiarowe

Nr	$A$ [cm]	$t(20 \text{ drgań})$ [s]
1	1	31,50
2	2	31,31
3	3	31,41
4	4	31,50
5	5	31,31
6	6	31,43
7	7	31,44
8	8	31,28
9	9	31,34
10	10	31,50

Tabela 1: Zależność okresu drgań od amplitudy

Nr	$t(20 \text{ drgań})$ [s]
1	31,44
2	31,16
3	31,28
4	31,34
5	31,66

Tabela 2: Pomiar okresu dla  $A = 5$  cm

Nr	$m$ [g]	$x$ [cm]
1	10	21,0
2	20	28,2
3	30	35,4
4	40	42,6
5	50	50,0
6	60	57,1
7	60	57,1
8	50	50,0
9	40	42,8
10	30	35,5
11	20	28,2
12	10	21,0

Tabela 3: Zależność położenia szalki od masy

$m$ [g]	$t(20 \text{ drgań})$ [s]	$t(10 \text{ drgań})$ [s]
10	25,41	12,81
20	26,13	13,94
30	29,53	14,81
40	31,47	15,59
50	33,06	16,60
60	34,72	17,84
$m_x$	33,22	14,91

Tabela 4: Zależność okresu drgań od masy

### 3.2 1. Izochronizm drgań

Okres drgań  $T$  wyznaczono na podstawie zmierzonego czasu  $t$  dla  $n$  drgań, ze wzoru:

$$T = \frac{t}{n}$$

gdzie:

- $t$  – zmierzony czas dla  $n$  drgań,
- $n$  – liczba drgań.

Na podstawie uzyskanych czasów obliczono okresy drgań sprężyny dla każdej amplitudy:

Nr	A [cm]	$t(20 \text{ drgań})$ [s]	$T$ [s]
1	1	31,50	1,575
2	2	31,31	1,5655
3	3	31,41	1,5705
4	4	31,50	1,575
5	5	31,31	1,5655
6	6	31,43	1,5715
7	7	31,44	1,572
8	8	31,28	1,564
9	9	31,34	1,567
10	10	31,50	1,575

Tabela 5: Obliczone okresy drgań dla różnych amplitud

Dla amplitudy  $A = 5 \text{ cm}$  wykonano pięć pomiarów, na podstawie których obliczono wartości okresów:

Nr	$t(20 \text{ drgań})$ [s]	$T$ [s]
1	31,44	1,572
2	31,16	1,558
3	31,28	1,564
4	31,34	1,567
5	31,66	1,583

Tabela 6: Pomiary okresu dla amplitudy  $A = 5 \text{ cm}$

Na podstawie powyższych danych wyznaczono średni okres:

$$T_{\text{sr}} = \frac{1,572 + 1,558 + 1,564 + 1,567 + 1,583}{5} = 1,569 \text{ s}$$

Maksymalne odchylenie od średniej definiuje się jako:

$$\Delta T_{\max} = \max(T_{\max} - T_{\text{śr}}, T_{\text{śr}} - T_{\min})$$

Podstawiając wartości otrzymano:

$$\Delta T_{\max} = \max(1,583 - 1,569, 1,569 - 1,558) = 0,014 \text{ s}$$

Wyniki pomiarów okresu dla wszystkich amplitud mieszczą się w przedziale niepewności:

$$(T_{\text{śr}} - \Delta T_{\max}, T_{\text{śr}} + \Delta T_{\max}) = (1,555, 1,583) \text{ s}$$

### 3.3 2. Zakres stosowalności prawa Hooke'a

Dla szalki bez obciążenia położenie wynosi  $x_0 = 13.6 \text{ cm}$ . Na podstawie wyników obliczono wydłużenie  $\Delta x_i$  jako różnicę między położeniem przy obciążeniu a położeniem początkowym:

$$\Delta x_i = x_i - x_0 \quad (7)$$

Następnie obliczono średnie wartości wydłużeń sprężyny  $x_i$  pod wpływem określonych obciążeń zgodnie ze wzorem:

$$\overline{\Delta x_i} = \frac{\Delta x_{i1} + \Delta x_{i2}}{2}$$

gdzie:

- $\Delta x_{i1}$  – wydłużenie szalki z masą  $m_i$  przy obciążeniu rosnącym,
- $\Delta x_{i2}$  – wydłużenie przy obciążeniu malejącym.

Wyniki obliczeń wydłużeń przedstawiono w tabeli 7.

$m$ [kg]	$\Delta x_1$ [m]	$\Delta x_2$ [m]
0,010	0,074	0,074
0,020	0,146	0,146
0,030	0,218	0,219
0,040	0,290	0,292
0,050	0,364	0,364
0,060	0,435	0,435

Tabela 7: Wartości wydłużeń sprężyny

Ciężar  $F$  został obliczony ze wzoru:

$$F = mg$$

gdzie:

- $m$  – masa odważnika [kg],
- $g$  – przyspieszenie ziemskie [ $\text{m/s}^2$ ].

W obliczeniach przyjęto wartość przyspieszenia ziemskiego  $g = 9,81 \text{ m/s}^2$ . Wyniki obliczeń przedstawiono w tabeli 8. Wykres zależności wydłużenia sprężyny od ciężaru przedstawiono na rysunku 1.

$m \text{ [kg]}$	$F \text{ [N]}$	$\overline{\Delta x} \text{ [m]}$
0,010	0,0981	0,074
0,020	0,1962	0,146
0,030	0,2943	0,2185
0,040	0,3924	0,291
0,050	0,4905	0,364
0,060	0,5886	0,435

Tabela 8: Średnie wartości wydłużeń sprężyny

### 3.3.1 Współczynnik sprężystości

W celu wyznaczenia współczynnika sprężystości sprężyny zastosowano regresję liniową dla zależności wydłużenia  $\Delta x$  od siły  $F$  wykorzystując język Python i bibliotekę NumPy. Na podstawie równania regresji:

$$\Delta x = aF + b$$

gdzie:

- $a = \frac{1}{k}$  – współczynnik kierunkowy prostej  $[\text{m/N}]$ ,
- $b$  – wyraz wolny  $[\text{m}]$ .

otrzymano następujące wartości:

- $a = 0,7373 \text{ m/N}$ ,
- $b = 0,00160 \text{ m}$ .

Stąd współczynnik sprężystości wynosi:

$$k = \frac{1}{a} = \frac{1}{0,7373} \approx 1,356 \frac{\text{N}}{\text{m}}$$

## 3.4 Analiza zależności kwadratu okresu od masy

Poszukujemy zależności liniowej w postaci:

$$T^2 = a \cdot m + b$$

**Zestawienie wyników pomiarów:**

Masa $m \text{ [kg]}$	Kwadrat okresu $T^2 \text{ [s}^2\text{]}$
0.028	1.6142
0.038	1.7069
0.048	2.1800
0.058	2.4759
0.068	2.7324
0.078	3.0137

## Wielkości pomocnicze do obliczeń:

Liczba pomiarów  $n = 6$

Suma mas  $\sum x_i = 0.318$

Suma  $T^2$   $\sum y_i = 13.7229$

Suma kwadratów mas  $\sum x_i^2 = 0.018884$

Suma iloczynów  $\sum x_i y_i = 0.76735$

## Wyznacznik układu równań $D$ :

$$D = n \sum x_i^2 - (\sum x_i)^2 = 6 \cdot 0.018884 - (0.318)^2 = 0.01218$$

## Parametry prostej regresji:

Współczynnik kierunkowy  $a$ :

$$a = \frac{n \sum x_i y_i - \sum x_i \sum y_i}{D} = \frac{4.6041 - 4.3659}{0.01218} \approx 29.63 \text{ s}^2/\text{kg}$$

Punkt przecięcia z osią  $T^2$   $b$ :

$$b = \frac{\sum x_i^2 \cdot \sum y_i - \sum x_i \cdot \sum x_i y_i}{D} = \frac{0.018884 \cdot 13.7229 - 0.318 \cdot 0.76735}{0.01218} \approx 0.72 \text{ s}^2$$

Otrzymana zależność empiryczna:

$$T^2 = 29.63 \cdot m + 0,72$$

Graficzna reprezentacja tej zależności znajduje się w sekcji z wykresami.

## Teoretyczne wartości współczynników prostej

Dysponując wartością współczynnika sprężystości:

$$k = 1,356 \frac{\text{N}}{\text{m}}$$

Możemy wyznaczyć teoretyczne wartości współczynników  $A$  i  $B$  w równaniu:

$$T^2 = A \cdot m + B$$

zgodnie ze wzorami:

$$A = \frac{4\pi^2}{k}, \quad B = \frac{4\pi^2 m_{spr}}{3k}$$

Dane do obliczeń:

- $k = 1,356 \frac{\text{N}}{\text{m}}$
- $m_{spr} = 74 \text{ g} = 0,074 \text{ kg}$



- $\pi^2 \approx 9,8696$

Po podstawieniu otrzymujemy:

$$A = \frac{4\pi^2}{k} = \frac{4 \cdot 9,87}{1,356} = 29,12$$

$$B = \frac{4\pi^2 m_{spr}}{3k} = \frac{4 \cdot 9,87 \cdot 0,074}{3 \cdot 1,356} = 0,72$$

### Wyznaczenie masy nieznanej $m_x$

Wykorzystując otrzymaną zależność empiryczną:

$$T^2 = 29,63 \cdot m + 0,72$$

oraz zmierzoną wartość  $T^2 = 2,76$ , uwzględniając masę szalki  $m_s = 0,018$  kg, możemy zapisać:

$$2,76 = 29,63 \cdot (m_x + 0,018) + 0,72$$

Przekształcając kolejno:

$$2,04 = 29,63 \cdot (m_x + 0,018)$$

$$m_x + 0,018 = \frac{2,04}{29,63} = 0,0689$$

$$m_x = 0,0689 - 0,018 = 0,0509 \text{ kg} = 50,9 \text{ g}$$

## 4 Ocena niepewności pomiaru

### 4.1 Niepewność czasu

Niepewność typu B czasu obliczono ze wzoru:

$$u_B(t) = \frac{\Delta_d(t)}{\sqrt{3}}$$

Gdzie  $\Delta_d(t) = 0,2$  to błąd eksperymentatora, stąd:

$$u_B(t) = \frac{0,2}{\sqrt{3}} \approx 0,12 \text{ s}$$

Niepewność typu A czasu wyznaczono na podstawie pięciu powtórzonych pomiarów dla amplitudy 5 cm (tabela 2), wykorzystując wzór 8.

$$u_A(t) = \sqrt{\frac{1}{n-1} \sum_{i=1}^n (t_i - \bar{t})^2} \quad (8)$$

Podstawiając wartości do wzoru 8 otrzymano:

$$u_A(t) = 0,19 \text{ s}$$

Niepewność złożoną czasu obliczono ze wzoru:

$$u_c(t) = \sqrt{u_A(t)^2 + u_B(t)^2}$$

Podstawiając wartości do wzoru otrzymano:

$$u_c(t) = \sqrt{0,19^2 + 0,12^2} \approx 0,22 \text{ s}$$

## 4.2 Niepewność okresu

Okres obliczono ze wzoru:

$$T = \frac{t}{N}$$

Gdzie  $N$  to liczba drgań, stąd:

$$u_c(T) = \frac{u_c(t)}{N}$$

podstawiając wartość niepewności czasu otrzymano:

$$u_c(T) = \frac{0,22}{20} \approx 0,011 \text{ s}$$

## 4.3 Niepewność położenia

Niepewność maksymalna miarki wynosi  $\Delta_d = 0,001 \text{ m}$ . Niepewność wydłużenia obliczono ze wzoru:

$$u_B(x) = \frac{\Delta_d x}{\sqrt{3}}$$

Po podstawieniu wartości otrzymano:

$$u_B(x) = \frac{0,001}{3} = 0,00058 \text{ m}$$

## 4.4 Niepewność wydłużenia

Niepewność wydłużenia obliczono z prawa przenoszenia niepewności dla wzoru 7:

$$\begin{aligned} u_c(\Delta x) &= \sqrt{\left(\frac{\partial \Delta x}{\partial x}\right)^2 u^2(x) + \left(\frac{\partial \Delta x}{\partial x_0}\right)^2 u^2(x_0)} \\ &= \sqrt{(1)^2 u^2(x) + (-1)^2 u^2(x_0)} \\ &= \sqrt{2} u_B(x) \end{aligned}$$

Stąd niepewność pojedynczego pomiaru wydłużenia:

$$u_c(\Delta x) = \sqrt{2} \cdot 0,00058 \approx 0,00082 \text{ m}$$

## 4.5 Niepewność średniego wydłużenia

### Niepewność złożona średniego wydłużenia

Dla średniego wydłużenia:

$$\overline{\Delta x_i} = \frac{\Delta x_{i1} + \Delta x_{i2}}{2}$$

niepewność złożoną możemy wyznaczyć korzystając z prawa propagacji niepewności:

$$\begin{aligned}
u_c(\overline{\Delta x_i}) &= \sqrt{\left(\frac{\partial \overline{\Delta x_i}}{\partial \Delta x_{i1}}\right)^2 u^2(\Delta x_{i1}) + \left(\frac{\partial \overline{\Delta x_i}}{\partial \Delta x_{i2}}\right)^2 u^2(\Delta x_{i2})} \\
&= \sqrt{\left(\frac{1}{2}\right)^2 u^2(\Delta x) + \left(\frac{1}{2}\right)^2 u^2(\Delta x)} \\
&= \sqrt{\frac{2}{4} u^2(\Delta x)} = \frac{u(\Delta x)}{\sqrt{2}}
\end{aligned}$$

Podstawiając wartość niepewności pojedynczego pomiaru wydłużenia otrzymano:

$$u_c(\overline{\Delta x_i}) = \frac{0,00082}{\sqrt{2}} \approx 0,00058 \text{ m}$$

## 4.6 Współczynnik sprężystości

Niepewności współczynników regresji liniowej dla zależności  $x = aF + b$  obliczono na podstawie następujących wzorów:

$$\begin{aligned}
s_y &= \sqrt{\frac{\sum_{i=1}^n (y_i - \hat{y}_i)^2}{n - 2}} \\
u(k) &= s_y \sqrt{\frac{n}{n \sum x_i^2 - (\sum x_i)^2}} \\
u(b) &= s_y \sqrt{\frac{\sum x_i^2}{n \sum x_i^2 - (\sum x_i)^2}}
\end{aligned}$$

gdzie:

- $s_y$  – odchylenie standardowe reszt,
- $u(a)$  – niepewność standardowa współczynnika kierunkowego prostej regresji,
- $u(b)$  – niepewność standardowa wyrazu wolnego prostej regresji,
- $n$  – liczba punktów pomiarowych,
- $x_i$  – wartości zmiennej niezależnej (siła  $F$ ),
- $y_i$  – wartości zmierzone (wydłużenie  $\Delta x$ ),
- $\hat{y}_i$  – wartości przewidywane przez model regresji,

Obliczone wartości niepewności dla współczynników prostej regresji wynoszą:

- $u(a) = 0,0012 \frac{\text{m}}{\text{N}}$
- $u(b) = 0,00046 \text{ m}$

Współczynnik sprężystości wyraża się wzorem:

$$k = \frac{1}{a}$$

Stąd niepewność współczynnika sprężystości wynosi:

$$u(k) = \frac{1}{a^2} \cdot u(a)$$

Podstawiając wartość niepewności współczynnika  $a$  otrzymano:

$$u(k) = \frac{1}{0,7373^2} \cdot 0,0012 \approx 0,0022 \frac{\text{m}}{\text{N}}$$

#### 4.7 Niepewności współczynników A i B zależności $T^2 = Am + B$

Niepewności współczynników  $A$  i  $B$  zależności  $T^2 = Am + B$  obliczono na podstawie następujących wzorów:

$$s_y = \sqrt{\frac{\sum_{i=1}^n (y_i - \hat{y}_i)^2}{n - 2}}$$

$$u(A) = s_y \sqrt{\frac{n}{n \sum m_i^2 - (\sum m_i)^2}}$$

$$u(B) = s_y \sqrt{\frac{\sum m_i^2}{n \sum m_i^2 - (\sum m_i)^2}}$$

gdzie:

- $s_y$  – odchylenie standardowe reszt,
- $u(A)$  – niepewność standardowa współczynnika kierunkowego prostej regresji,
- $u(B)$  – niepewność standardowa wyrazu wolnego prostej regresji,
- $n$  – liczba punktów pomiarowych,
- $m_i$  – wartości mas efektywnych,
- $y_i$  – wartości zmierzone ( $T^2$ ),
- $\hat{y}_i$  – wartości przewidywane przez model regresji.

Obliczone wartości niepewności dla współczynników prostej regresji wynoszą:

- $u(A) = 1,54 \frac{\text{s}^2}{\text{kg}}$
- $u(B) = 0,12 \text{s}^2$

#### 4.8 Niepewności współczynników A i B z wzorów

Na podstawie wzoru 6 współczynniki  $A$  i  $B$  wyrażają się następującymi zależnościami:

$$A = \frac{4\pi^2}{k}$$

$$B = \frac{4\pi^2 m_{spr}}{3k}$$

Korzystając ze wzoru na niepewność złożoną:

$$u_c(E) = \sqrt{\sum_{k=1}^K \left( \frac{\partial E}{\partial x_k} \right)^2 u^2(x_k)}$$

Dla współczynnika  $A$  mamy tylko jedną zmienną ( $k$ ), więc:

$$u_c(A) = \sqrt{\left( \frac{\partial A}{\partial k} \right)^2 u^2(k)}$$

Po podstawieniu pochodnej:

$$u_c(A) = \sqrt{\left(-\frac{4\pi^2}{k^2}\right)^2 u^2(k)}$$

Ostatecznie:

$$u_c(A) = \frac{4\pi^2}{k^2} u(k)$$

Podstawiając wartości:

$$u_c(A) = \frac{4\pi^2}{1.356^2} \cdot 0,0022 \approx 0,048 \frac{\text{s}^2}{\text{kg}}$$

Dla współczynnika  $B$  mamy dwie zmienne ( $k$  i  $m_{spr}$ ), lecz ze względu na brak informacji o niepewności masy sprężyny  $u(m_{spr})$ , ograniczymy się do obliczenia niepewności względem zmiennej  $k$ :

$$u_c(B) = \sqrt{\left(\frac{\partial B}{\partial k}\right)^2 u^2(k)}$$

Po podstawieniu pochodnej cząstkowej:

$$u_c(B) = \sqrt{\left(-\frac{4\pi^2 m_{spr}}{3k^2}\right)^2 u^2(k)}$$

Ostatecznie:

$$u_c(B) = \frac{4\pi^2 m_{spr}}{3k^2} u(k)$$

Podstawiając wartości:

$$u_c(B) = \frac{4 \cdot \pi^2 \cdot 0.074}{3 \cdot 1.356^2} \cdot 0.0022 \approx 0.0012 \text{s}^2$$

## 5 Wnioski

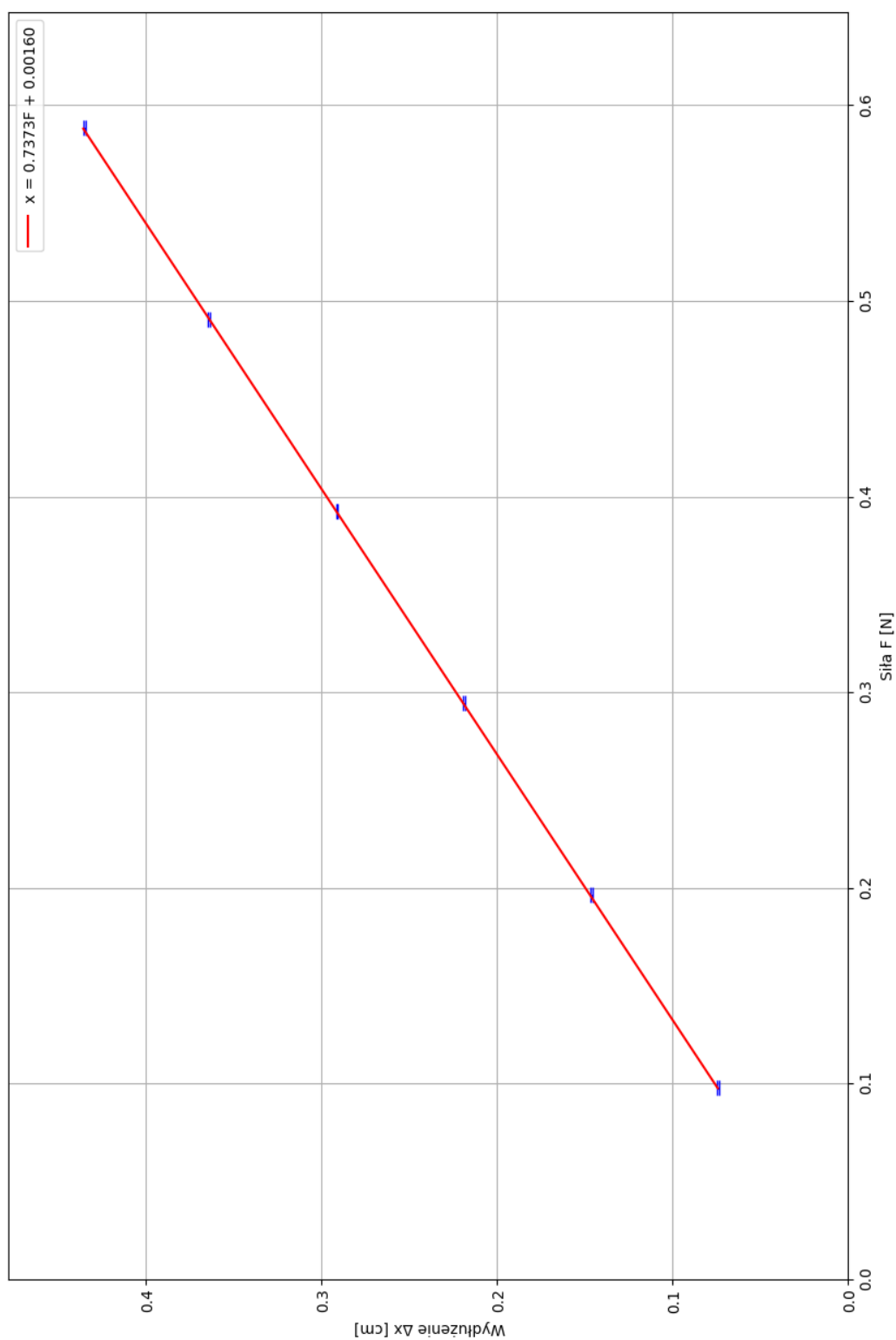
Wyniki eksperymentu wykazały, że w badanym zakresie amplitud (od 1 do 10 cm) okres drgań pozostaje stały w granicach błędu pomiarowego. Świadczy o tym fakt, że wszystkie wyznaczone wartości okresów znajdują się wewnątrz przedziału niepewności, który został określony na podstawie serii pięciu pomiarów wykonanych dla amplitudy 5 cm. Zaobserwowana niezależność okresu od amplitudy potwierdza występowanie zjawiska izochronizmu, które jest przewidywane przez teorię ruchu harmonicznego przy małych wychyleniach.

Na podstawie wyników pomiarów wyznaczono współczynnik sprężystości sprężyny  $k = 0,7373 \frac{\text{m}}{\text{N}}$ ,  $u(k) = 0,0022 \frac{\text{m}}{\text{N}}$  oraz wyraz wolny  $b = 0,00160 \text{m}$ ,  $u(b) = 0,00046 \text{m}$ , który jest bliski zeru. Wykonane pomiary potwierdziły prawo Hooke'a w zakresie od 10 g do 60 g.

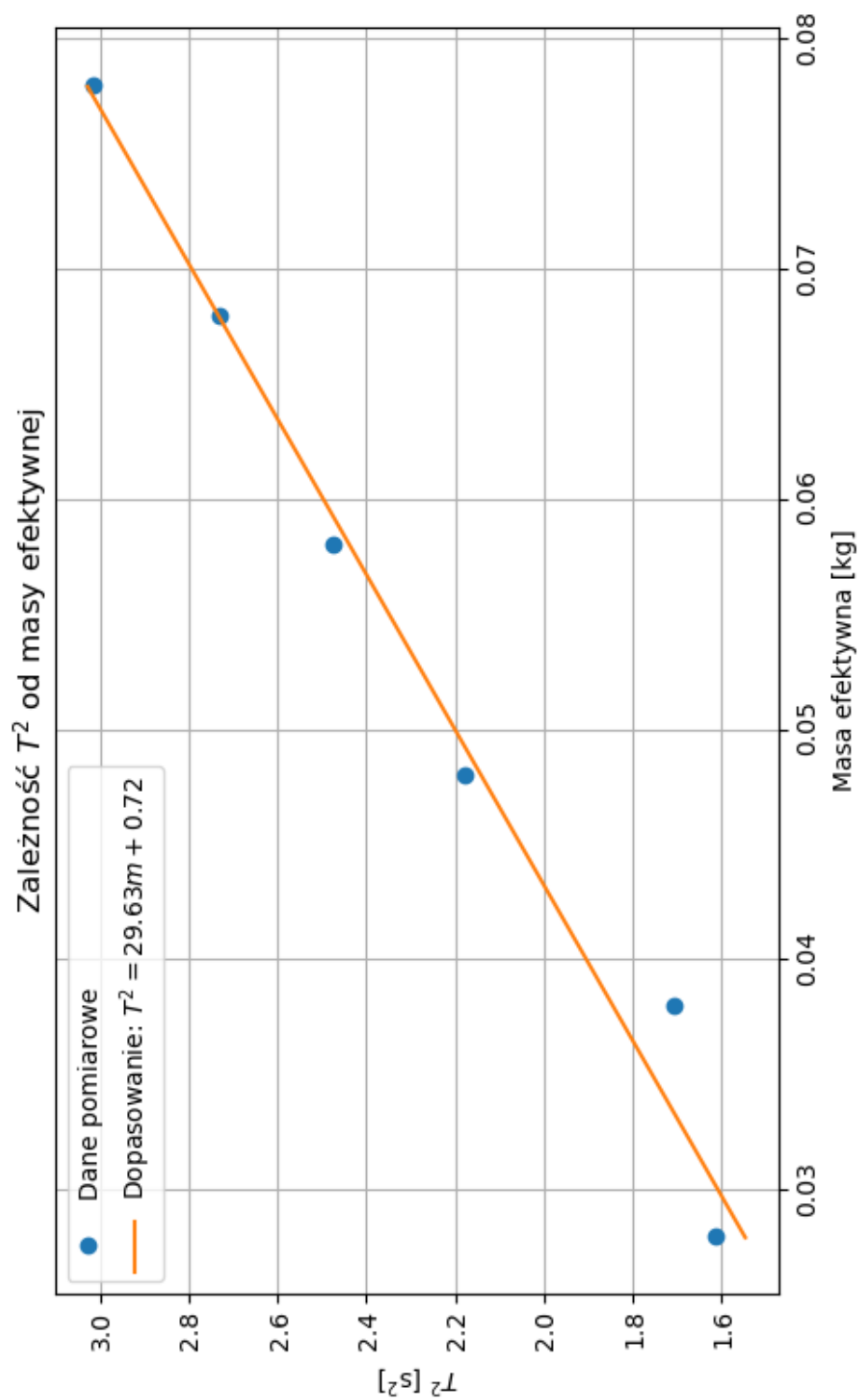
Otrzymane empirycznie współczynniki prostej regresji ( $a = 29,63 \text{ s}^2/\text{kg}$ ,  $b = 0,72 \text{ s}^2$ ) są bardzo zbliżone do wartości przewidzianych teoretycznie ( $A = 29,12 \text{ s}^2/\text{kg}$ ,  $B = 0,72 \text{ s}^2$ ). Wyraz wolny  $b = 0,72 \text{ s}^2$  odpowiada teoretycznej wartości wynikającej z uwzględnienia masy sprężyny, co potwierdza słuszność korekty  $\frac{1}{3}m_{spr}$  w równaniu okresu drgań.

Wykorzystując otrzymaną zależność empiryczną, udało się wyznaczyć nieznaną masę  $m_x = 50,9 \text{ g}$ .

## 6 Wykresy



Rysunek 1: Zależność wydłużenia sprężyny od ciężaru (źródło: opracowanie własne).



Rysunek 2: Zależność wydłużenia sprężyny od ciężaru (źródło: opracowanie własne).

## Literatura

- [1] Tadeusz Dryński. *Ćwiczenia laboratoryjne z fizyki*. Państwowe Wydawnictwo Naukowe, Warszawa, 5 edition, 1976.